

天文导航

天文導航

王裕齐、申功勋 编译

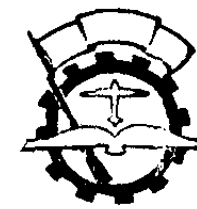
87.9
4
004187



国防工业出版社

天文導航

王裕齐、申功勛編譯



國防工業出版社

内 容 简 介

本书收集了近年来外国杂志所发表的有关天文导航方面的研究论文18篇。介绍了用于宇宙飞船、人造卫星、远程导弹和飞机上导航定位用的星体跟踪系统和仪器。书中还提供了不少设计、应用和导航天文学等方面的参考资料，可供有关方面的研究工作者参考。

天 文 导 航

王裕齐、申功勋 编译

国防工业出版社出版

北京电子书刊出版业营业登记证字第074号

新华书店北京发行所发行 各地新华书店经售
国防工业出版社印刷厂印装

787×1092 1/16 印张 157/8 369 千字

1966年1月第一版 1966年1月第一次印刷 印数：0,001—0,750册
统一书号：15034·1039 定价：（科七）2.20元



数据加载失败，请稍后重试！

天文導航

王裕齐、申功勛編譯



國防工業出版社

內容簡介

本书收集了近年来外国杂志所发表的有关天文导航方面的研究論文18篇。介绍了用于宇宙飞船、人造卫星、远程导弹和飞机上导航定位用的星体跟踪系統和仪器。书中还提供了不少設計、应用和导航天文学等方面的参考資料，可供有关方面的研究工作者参考。

天文導航

王裕齐、申功勋編譯

*
國防工業出版社出版

北京市书刊出版业营业登记证字第074号

新华书店北京发行所发行 各地新华书店經售
国防工业出版社印刷厂印裝

787×1092 1/16 印張 15⁷/8 369 千字

1966年1月第一版 1966年1月第一次印刷 印数：0,001—0,750册
统一书号：15034·1039 定价：（科七）2.20元

編者序言

近年来，天文导航技术获得了迅速发展。目前在宇宙飞船、人造卫星、远程导弹和飞机上广泛地采用着天文定位方法或天文——惯性；天文——多普勒等组合导航的方法。本书收集了近年来外国杂志所发表的有关天文导航方面的研究论文 18 篇。其中头 12 篇是根据 1963 年美国电子电器工程师学会出版的一期天文导航专刊译出的。这些文章介绍了用于宇宙飞船、人造卫星、远程导弹和飞机上导航定位用的星体跟踪系统和仪器，文中提供有不少设计、应用和导航天文学等方面的参考资料，可供我国有关方面研究工作者参考。这几篇文章我们仍按原书的次序来编排，只是在第五篇 Joel Greene 的“当作天文罗盘使用的天体跟踪器”一文后，插入了该作者在 1964 年刊在“Navigation”上的一篇“超音速飞机导航中应用的白昼天体跟踪器”的文章，该文介绍了美国正在试制的预备在 1970 年使用的一种新型的白昼天体跟踪器，这样两篇文章放在一起，将有助于读者对美国的天文导航仪器的现有水平和发展趋势有所了解。第十四篇“天体制导”一文我们是参考了其他同志的译文，由于该文内容比较全，故而将它编入。最后四篇是讨论有关宇宙导航中光学技术的应用和星体能量调制的方法。

由于我们水平有限，在编译中肯定有许多不妥之处，我们衷心希望能得到同志们的帮助和指正。

在编译中，周大年同志和秦世光同志给我们提供了不少帮助，我们仅表示感谢。

编者

1965 年 5 月

目 录

編者序言	3
宇宙导航时要考慮的某些天文学和地球物理学方面的問題	
..... A. M. Naqvi and R. J. Levy	5
星体跟踪和扫描系統的性能及参数設計	John E. Abate 28
星体跟踪器的系統分析	Floyd V. McCanless 40
在地球和宇宙导航系統中应用的电子管光电探测器的性能比較	
..... Norman P. Laverty	58
用拓扑学方法来分析星体跟踪系統	Glenn Quasius 72
利用光学辐射分析來識別星体	J. H. Flink 81
当作天文罗盘使用的天体跟踪器	Joel Greene 93
超音速飞机导航中应用的白昼天体跟踪器	Joel Greene 113
用于远程导彈中的星体慣性导航	Vern A. Blumhagen 122
以地平为基准的卫星导航系統	R. L. Lillestrand and J. E. Carroll 137
对局部照明月球的跟踪	Roger S. Estey 165
宇宙制导应用的光电图形匹配器	John N. Packard 179
宇宙导航仪器	S. Moskowitz, P. Weinschel 188
天体制导	R. B. Horsfall 209
宇宙导航中光学技术的应用	Wesley J. Haywood Jr. 222
紅外綫跟踪系統比較	Alan R. Gedance 229
星体跟踪系統角噪音标准	E. K. Sandeman 234
綫性扇形調制盤的調頻式星体跟踪系統	E. K. Sandeman 238

宇宙导航时要考虑的某些天文学和 地球物理学方面的問題

A. M. Naqvi and R. J. Levy

摘要 本文主要討論在宇宙飞船中，利用自足設備来进行光学測量的各种天文学与地球物理学方面的問題，以及这些問題与确定飞船的位置和速度的关系。

工. 总 論

本題所涉及的範圍很广泛，但本文只就以下三个方面进行討論：第一，有关在光学波長範圍內利用电磁輻射測量来获取信息的問題。第二，有关用宇宙飞船上的自足导航設備来进行測量的問題。第三，有关地球卫星和星际（包括月球）探測的两种宇宙飞船。

我們根据相对給定座标系統和已知其位置与速度的一些天体进行測量，以便确定飞船的距离和相对速度。如果不能直接觀測飞船的速度，那么，我們可以用在一个已知時間間隔內来测量两个位置的方法計算出来。各測量数值和导航参数（例如，在一个已知瞬間的六个軌道諸元，或飞船位置和速度矢量的六个分量）之間的关系，不在本文討論範圍之内。

显然，任何空間測量方法都是以对所接收到的各种天体輻射光的分析为依据的。对一个地球卫星來說，必須要考慮对地球大气（例如散射光、吸收、放射等）的修正。

在理論上，可以根据对任何电磁輻射特性的測量来获得导航資料。这些特性指的是方向、光强度、頻率、偏振和光束到达的瞬間。但实际上，上述各种特性并不都是适用的和可靠的。例如現在尚未有人提出过用偏振測量的方法来获取导航資料。

为了使对某一物理量的測量能得出准确的导航資料，应滿足下列标准：

1) 在太阳系的一些已知点（例如地球）上，能够精确得知这个物理量的值。否則它将影响空間測量的准确度；

2) 这些物理量应不具有瞬变特性，或者瞬变性是能精确預測的，否則将引起大的誤差；

3) 当飞船位置或速度变化时，物理量立即也能显示出变化。例如：由宇宙飞船測得的行星座标能在导航中应用，但在太阳系內航行时，尤其是在太阳系內域航行时，恒星座标改变极小；

4) 按現有技术水平，应能在宇宙飞船上精确測出这个物理量。

在宇宙导航中，根据飞船与天体距离的远近可分成两类天体。所有在太阳系中的天体（太阳、行星——包括地球、小行星、月亮以及其他行星的卫星等）可以称为“近”天体，这是与远距离“天体”相比較來說的，实际上它的最近距离也都超过了 1/4 兆天文单位（*a. u.*）。通常，由于宇宙飞船的运动，任何星特性（方向、輻射光通量等等）都不会有很大改变。为此須进行近天体的測量。但并非是星际航行中星不重要。实际上由于它们是“固

定”（其已知运动已作修正）的，因此它們可以作为一个天体座标构架，用来測量行星的位置。

对近天体进行測量，原則上有如下几項：

1) 在一个近天体和一个星中間來測量角度〔1〕〔2〕。除了精确地測量这些角度外，还需要精确地測量星际座标和各行星的軌道；

2) 辐射光通量的測量。虽然从光通量的平方反比定律，可以准确地測得距离。但是，这并不合适。因为光通量的变化是不能預計的，而且由于行星的盈亏使問題更加复杂化〔3〕〔47〕；

3) 直徑的測量。天体的角直徑和它的距离成反比。这种測量的困难在于：太阳的直徑可能会改变，而行星的直徑又不能准确的知道〔4〕〔39〕及本文Ⅲ-B。故此法不适宜用于中程导航，但可用于終点制导；

4) 虽然光行差的位置改变是与飞船速度有关，但是因为太小，无法利用它来确定飞船的速度〔5〕；

5) 多普勒光譜綫位移是和天体与飞船的相对速度成比例的，但用它作为一种測量方法來說是太小了。

下面，我們先來簡單地介紹一下，在研究宇宙导航仪器和工程問題时所需要的一些天文学和地球物理学方面的知識。

II. 星

星体在宇宙导航中是起着重要的作用。它們是天球上的“陆标”。經過視差和适当的运动修正后，星体可认为是“固定的”物体。

一大批星体的准确位置都列在所謂基本星体位置目录表內（見本文Ⅱ-A部分）。天文学中所有其他的定位測量，包括太阳系中各目标的測量，也都是采用与邻近的，并已知其准确位置的一組标准星体相比較的办法。在宇宙中也是用同样方法来进行測量的。

天空中是有着非常多的星体。星等的減弱与星体数目的增加是成对数的关系。星体是合理地均匀地分布在天空中。天文学家們曾經广泛地研究过各种星体，并且作出了它們的主要特性表。

A. 星体位置一覽表

每一个特定时期（某年某月）的星体位置，总是可以用赤經（ α ）和赤緯（ δ ）来表示。其所以要特地說明时期的原因，是在于基准面和参考点，也即：赤道和春分点因进动和摄动而将改变位置。从一个时期到另一个时期的座标轉換是很简单的。但是，如果轉換期要經過許多年，那么，就将累积誤差（进一步討論可參閱实用天文学教本或参考文献〔6〕）。

現有几种星表。一种是“基本星表”，是对星体位置进行直接的和基本的測量。这种表的准确度最高。但它只包括几千个星。另一种“普通星表”，包括几万到几十万个星。普通星表通常是根据以前的星表加以整理而得的。还有一种“差別星表”其位置都是参照基本星表，但作了修正，因而精确度較高。差別星表仅适用于北半天球。此外，还有一些仅給出近似位置，适于粗略識別用的星表。表1所示为現有各种星表的情况。有关对宇宙导

航所用的星表可參閱文献[18]。

當討論定位測量的精度時，我們應當記着赤經 α 是用時間單位給出的，赤緯 δ 是用角度來度量的。在 α 中， $0^s.01$ (s 為時秒——譯者) 的準確度相當於 $0.15'' \cos \delta$ 或者近似於 $0.1''$ 。

另外，要注意的是任何星表中所列的星體，其定位準確度是不相同的。通常是弱星定

表 1 星表

星表名稱	形式①	參考 文獻	星 數	近似 的 極 限 等 級	給出的小數位數 (α)	給出的小數位數 (δ)	宇宙導航 的準確度	備 考
FK4	F	7	1535	6±	時秒 0.001	角秒 0.01	適當	
N30	~F	8	5268	6+	0.001	0.01	適當	$p.e \text{ ② } 0.03'' \sim 0.13''$
GC	G	9	33342	7—11	0.001	0.01	邊緣的	$p.e \text{ ③ } 0.03'' \sim 0.60''$
AGK2	D	10	~14000	7	0.01	0.01	邊緣的	主要對北天空
AGK3	D	11	~300000	9	0.001?	0.01	適當(?)	AGK3還沒有公開出版
ZC	D	12	3539	7—9	0.001	0.01	邊緣	只包括黃道帶
Smithsonian(斯密司 逊表)	G	13	250000	9+	0.001	0.01	?	
Yale Bright star (耶魯亮星)	A	14	9110	6.5+	時秒 1	角秒 1	不適宜	
Henry Draper(亨利 追佩爾表)	A	15	225000	10	分鐘 0.1	角秒 1	不適宜	
Durchmusterungen 表	A	16	~10 ⁶	10	時秒 0.1	角分 0.1	不適宜	
美國星歷表	A	17	1078	4.75	時秒 0.1	角秒 1	不適宜	

① 形式: F = 基本的, G = 普通的, D = 差別的, A = 近似的。

② 所給出的小數位數，並不一定反應準確度。

③ $p.e$ = 可能誤差。

位準確度要低一些。總的來說，南半天球各星的精度較低，愈靠近南天軸愈低。這因為對南半天空的測量進行得還不夠。

圖 1 為依文氏 (Irwin) [19] 提出的，在 1960 年 GC 星表中的估計誤差。這裡赤經和赤緯誤差是綜合在一起的，雖然赤經的平均誤差要比赤緯誤差大 13%。到 1970 年 GC 星表中的誤差可能不再適於宇宙導航應用，但那時可以利用具有更多星體和更精確定位的 AGK3 星表。

B. 光譜特性和溫度

用光譜分類的方法可以把星體分成 B、A、F、G、K 和 M 等幾個組。另外還有 W、O、R、N 和 S 等幾個組是由於它們只包括約 1% 的所有表現亮星，因此在這裡就不再予以討論了。每一個光譜級還再分十個級，採用 0 到 9 的數字來標號。

此外，星體又按照它們真正的（不是視見的）發光度來分組。最重要的發光度等級是超巨星，巨星和主序星。下面是常用的較詳細的分類 [20]：

I 超巨星（包括 C 星）

II 亮巨星

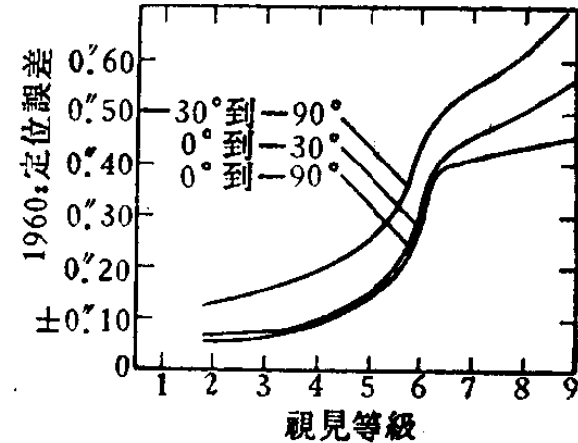


圖 1 1960 年 GC 星表定位的可能誤差

- I 巨星
 II 次巨星
 V 主序星 (又称为矮星)
 Sd 次矮星
 W 白矮星

除了具有很少的吸收和放射线之外，一个星的光谱强度分布和一个黑体极为近似。表 2 摘自参考文献[21]给出的不同光谱与发光度等级的各星体的有效温度。

表 2 对于不同光谱与发光度等级的有效温度和颜色指标①

光 谱 Σ_p	顏 色 指 标 CI			有 效 溫 度 T_e		
	主 序 星	巨 星	超 巨 星	主 序 星	巨 星	超 巨 星
B0	-0.42				22000	
B5	-0.36				14000	
A0	-0.17				10700	
A5	+0.03				8500	
F0	+0.15	+0.22			7400	
F5	+0.28	+0.40	+0.34		6500	
G0	+0.42	+0.60	+0.70		5900	5200
G5	+0.58	+0.82	+1.05		5500	4600
K0	+0.77	+1.06	+1.4		4900	4100
K5	+1.08	+1.35			4200	3600
M0	+1.3	+1.5			3600	3400
M5	+1.5				2800	2800

① 颜色指标定义，见 I-C 部分。

按绝对发光度 L (每秒钟输出的总能量) 来表示的有效温度 T_e

$$L = 4\pi R^2 T_e^4 \sigma,$$

式中 R 为星的半径， σ 为斯忒藩-玻耳兹曼 (stefan-Boltzmann) 常数。天文物理学家们所使用的星体温度有几种不同的定义 (颜色温度、亮度温度等等)，但是有效温度在物理方面是最有意义的，在理论上它是一个极有用处的参数。

从表 2 所示的广泛的星体温度范围，可以明显的看出：在不同光谱范围内，不同星体光强度分布变动很大。这种变化情况示于图 2 [22]。

图中表示出从地球大气上面所接受的一些最亮星的光能 (属于不同的光谱与发光度等级) 和波长的关系。从图上可以看出，似乎很光亮的一个

红星，例如猎户座 α 星 (参宿四) 是在 5000 Å 以下的短波长范围内，它具有很小的能量。

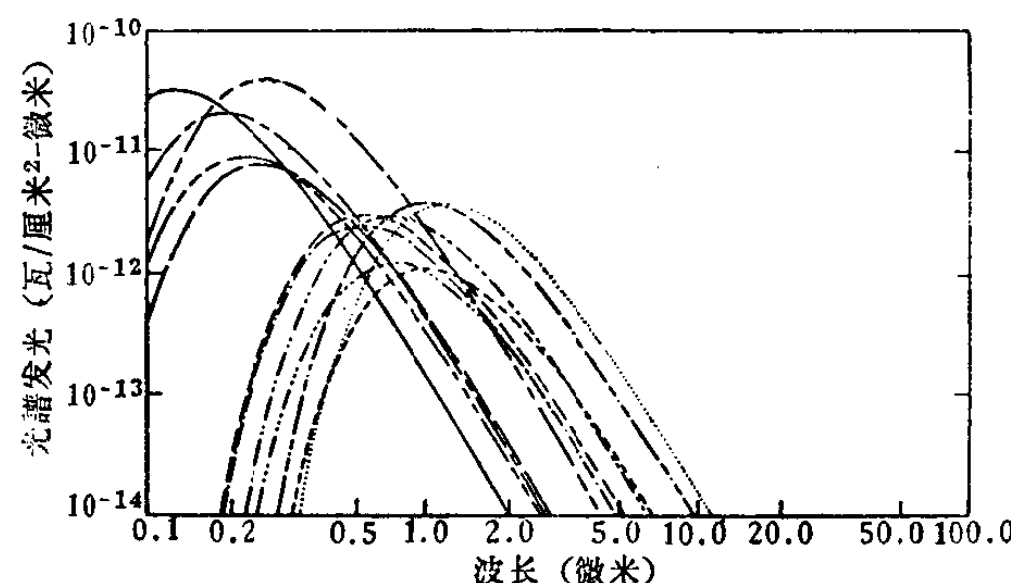


图 2 在大气上面所选择的诸亮星的光谱发光

- | | | |
|-------------------|----------------------|---------------------|
| —— 半人馬座 β 星 | —— 天琴座 α 星 | ····· 双子座 β 星 |
| —— 波江座 α 星 | —— 船底座 α 星 | —— 猎戶座 α 星 |
| —— 大犬座 α 星 | ····· 御夫座 α 星 | —— 天鵝座 β 星 |
| —— 猎戶座 β 星 | ····· 牧夫座 α 星 | ····· 仙女星 β 星 |

对于按照光譜分类的星表，請參閱文献[15]与[20]。在不同光譜范圍內所測出的星等的討論見本文 I - C 部分。

C. 星等

对宇宙导航來說，星体发射的光通量是一个很重要的特性，能用它來識別一个星体，虽然不能說这是一个很好的标准，但是，在設計識別星体或測量其特性的仪器时，是一定需要知道能由星体获得多大的輻射量。不同发光度的星体的頻率分布将在 I - D 部分中討論。

星体輻射光通量用对数座标来表示。視見值和絕對（或真實）值是有區別的。但是，对宇宙导航來說，我們只使用視見数值。假設 f_1 和 f_2 代表在地球大气上面从两个星体上所接受的光通量（瓦/厘米²），这两个星等差可以由下式表示：

$$m_2 - m_1 = 2.5 \log(f_1/f_2)。$$

这样，相差一等相当于 4 个分貝（应为 8 个分貝——譯者）。等級标度的零点是任意选择的，而等級差即給出相对光通量。零点的选择可将相对測量值轉換成絕對值。

前面已經提到过，星体輻射近似黑体輻射。大多数光測量设备，只对有限光譜区域敏感。而且即使在这些区域里面，光譜灵敏度也是不均匀的。眼睛、照像底板和新型的光电池都曾經用来进行过星等測量。这些測量包括了一个寬的或是一个窄的光譜带。目視和照像方法采用很寬的帶。眼睛最高的灵敏度大約在 0.50 和 0.62 微米之間，其最大值在 0.556 微米。照像底板的灵敏度不一样，但是在天文光度学中，最常用的几种的最高灵敏度大約在 0.35 到 0.50 微米之間，其最大值在 0.46 微米。現在有很多光敏面可以利用。它們曾經同有着寬的和窄的透射帶的濾光器联用。显然，对一个給定的星來說，不同的設備所測出的星等都是不相同的。因此，就有这样几种等級——目視的、照像的、電視的（正色片和黃色濾光器合用具有近似与眼睛相同的灵敏度）、紅外的、測輻射热的，和其他多种光电等級。各种不同等級标度的零点也是可以任意調整的。

顏色指标（CI）是照像等級 (m_{pg}) 与目視（或電視）等級 (m_v 或 m_{pv}) 二者值之差，

$$C.I. = m_{pg} - m_v,$$

或

$$C.I. = m_{pg} - m_{pv}.$$

同样，任何其他两种等級的差值也称为顏色指标。为了避免因确定顏色指标所用的等級的混乱，因此各种等級都有不同的符号标记。各种不同等級进行綜合，将得到不同的顏色指标。

目視、照像和電視等級标度曾經使用了一个很长时期，并为国际上所确认。在星表中所給出的等級值，例如本文 I - A 中所討論的各值，通常都是这三种当中的一种。星等值通常給出一位或者二位小数。但最后一位小数通常意义不大。天文学家們不需要很精确的，具有寬帶型的視見等級。这理由很简单：因为天文学家們需要的是星体，他們最感兴趣的 是絕對（或真實）等級。但因为不能精确地測量距離，所以等級准确度有所限制。此外，这些等級也不能給我們提供在窄光譜帶中所具有的光通量值，或者其他光譜段中的光通量值。如果我們假設星体輻射是一个黑体分布，而且已知星体的溫度，那么我們就可推导出光通量值。（見表 2，图 2 和参考文献[22]）。除了几个已知精确数据的亮星以外，由目視、照

像或電視等級所推導出的星體光通量絕對值的誤差，可能達到百分之几。一個 m_{pg} 或 m_p 等級的星體所接受到的光通量值（瓦/厘米²微米），可近似由下式得出：

$$\log f_\lambda = -0.4m_{pg} - 11.3 \quad \text{在 } \lambda \sim 0.43 \text{ 微米；}$$

$$\log f_\lambda = -0.4m_p - 11.45 \quad \text{在 } \lambda \sim 0.54 \text{ 微米。}$$

在一些相對窄帶內曾經作了較為精確的光电星等的測量。但是，這些測量只適用於一小部分星體。下面將討論一些重要的光电測量。更仔細的討論可參閱[23]。

在光电測量方面，最早的工作是由 Stebbins 和 Whitford[24]所建立的 6 色光度學，以後又被 Stebbins 和 Kron[25]所發展。6 色的範圍是從 0.35 μ 到 1.03 μ，但只有 400 個星的等級可應用。最廣泛採用的系統是 Johnson 和 Morgan[26]的三色系統 (UBV)。有效波長是 0.36μ (U)，0.43μ (B) 和 0.55μ (V)。(V) 等級系統曾經被作為國際電視等級應用。Johnson 和 Morgan 表中包括大約 300 個星，Hiltner[27] 中有 1259 個 O 与 B 型的星。Hiltner 文獻中還包括了極化和光譜型的數據。

Harris 曾經提出[45] Hardie 曾做過但未經公布的紅 (R) 与紅外 (I) 的等級系統。有效波長為 0.69 和 0.82μ。這方面所作的星等測量還不夠多，但是使用 R 和 I 等級的一些行星數據，現列於表 8 与表 9 中。

最近 Willstrop [28] 曾經公布一組非常好的絕對測量數值。他採用了四個窄帶 ($\sim 200 \text{ \AA}$) 濾光器，它們的最大峰值透射率為 5410, 4600, 4340 和 4220 Å。他曾給出一個零等 $V = 0.00$ 星的輻射光通量和在四種波長時，20 個不同值的 (B-N) 顏色指標（從 -0.3 到 +1.6）。他估計相對值的標準誤差為 $\pm 2\%$ ($B-V < 1.2$ 時) 和 $\pm 3\%$ ($B-V > 1.2$ 時)。在他的 4 個（窄帶）顏色系統中，他曾測量出 221 個星的等級和顏色指標。

D. 不同視見星等的星體頻率

圖 3 給出了一個比給定的照像或視見等級 (m_{pg} 或 m_p) 還要亮的星體數目 Ω_m 。 Ω_m 是隨着 m 近似對數地增加，但是在等級較高時則偏離開。由該圖還可以看出：較給定的照像等級還亮的星體數目比起同一視見等級還亮的星體數目來說，那麼前者要小於後者 $2/3$ 。當星體逐漸減弱時，比值將減少。當等級 m 為 10 時，比值將小於 $1/2$ 。

E. 天球上星體的分布

圖 4 示出在採用赤道座標系時，50 個照像上最亮的星體的分布圖。很明顯，分布是十分不均勻的。兩根實線曲線是代表平行於銀河緯度的兩根線 ($+15^\circ$ 與 -15°)。50 個星體有 32 個是落在这窄帶之內。

當極限等級值愈來愈大時，不均勻分布就更加顯著，如圖 5 所示。在圖中 $\log N_{m_{pg}}$ (在每一方度中比照像等級 m_{pg} 更亮的星數) 和銀河緯度作為縱橫座標 ($m_{pg} = 5, 10, 15$ 和 20)。顯然，對任意一個極限照像等級 m_{pg} 說來，在高銀河緯度的星是較少於近銀河赤道的星數。

銀河的形狀很像一個透鏡，太陽是在銀河平面的一邊。因此我們在低銀河緯度上可以看到星體集中的現象。

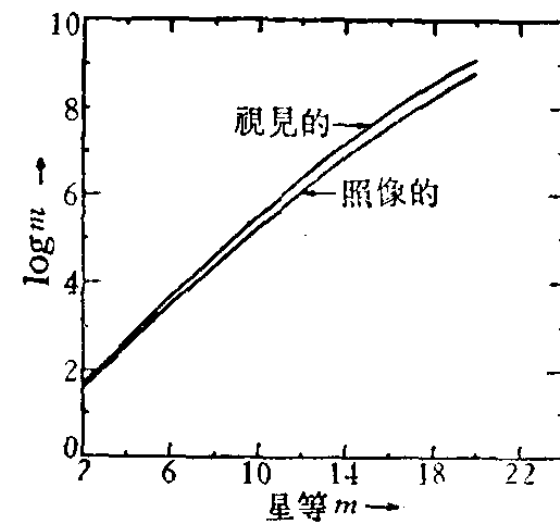


圖 3 比視見等級 m 還要亮的
星體數量 Ω_m

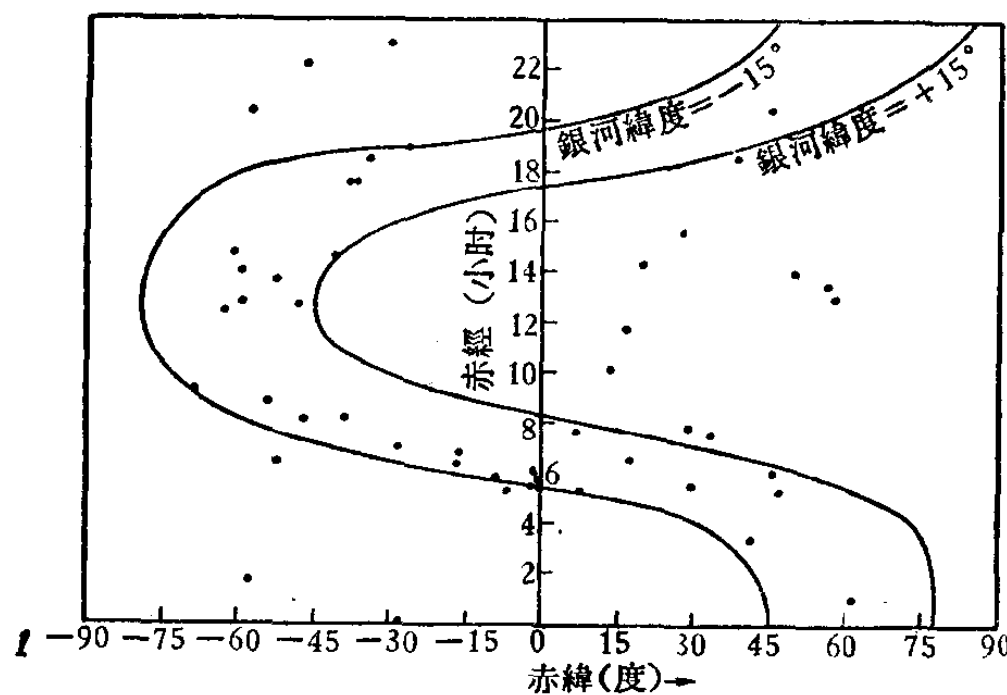
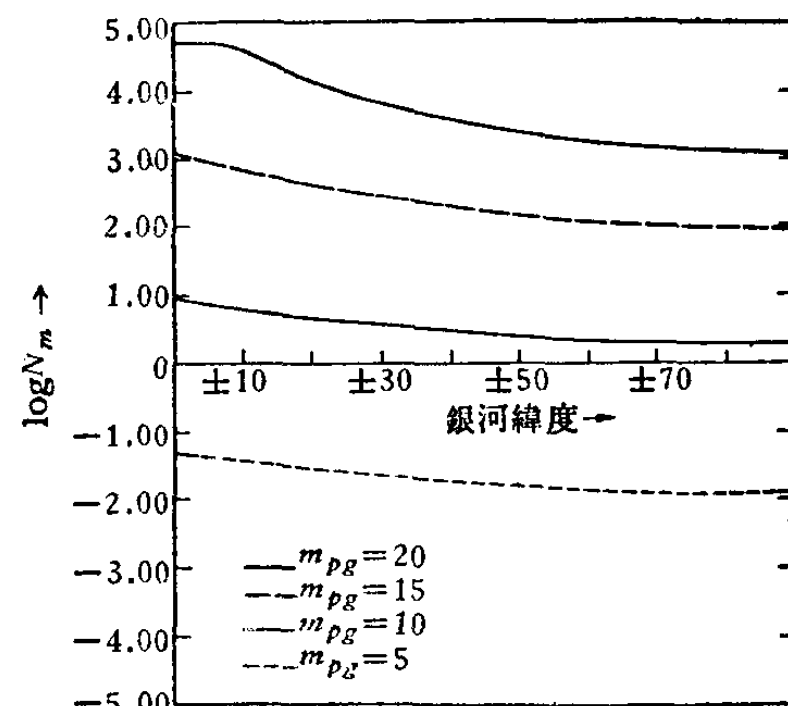


图 4 50个外觀最亮的星 (照像等級)

图 5 在不同銀河緯度比 m_{pg} 級更亮的星
体数目

III. 行 星

根据能从宇宙飞船上观测行星的实践，提出了与观测星体完全不同的问题。虽然是经过小孔径的望远镜来观测的，但行星还是呈现盘状。行星是围绕太阳来运行的，因此它们在天空中的相对位置是经常地变化着的。我们必须准确预知行星的轨道，然后才能利用宇宙飞船来进行行星的定位测量。行星的亮度也是随着相距太阳和观测者之间的距离来变化着的。此外，在行星盘上的亮度分布也是不均匀的。这意味着行星的发光中心不一定就是它的质量中心。在确定行星质量中心的位置时，还由于行星的盈亏而变得更加复杂。金星、地球、火星和主要的行星都有大气层，这也给行星测量增添了麻烦。

A. 行星位置

宇宙航行中位置的确定是取决于对飞船中所观察到的各个天体之间的夹角测量。在制定航行计划时必须知道各行星的相对位置。本节我们将讨论天文时间、距离单位，以及行星级别的制定和精确度等有关问题。

世界时 UT (即格林威治民用时——译者) 是形成广播时间信号的基础，例如 WWV、CHU 等时间信号。世界时是从天文观测的平均太阳时推导出来的，也即是从地球的旋转推导出来的。由于人们已知地球旋转的速度是不规律的，而且是无法预测的。因而提出了一种要较 UT 均匀的“牛顿”时间或者称为“历表时” ET 。行星位置是按照历表时来公布的。如果使用 UT ，则必须加以 $\Delta t = ET - UT$ 的修正。历表秒的定义是：1900 年 1 月 1 天 0.5 的一个太阳年的 $1/31,556,925.9747$ [29]。历表时和太阳时之差变化很慢，而且不规则。在前十年内，每一年的改变都小于 1 秒；在 1959 年 5 月 Δt 等于 +33.0 秒 (1963 年可参阅参考文献[17])。 Δt 只能在几年以前预测到几秒钟的范围。更准确的 Δt 值可以由二、三年周期的观测中推导出来。

近似的历表时，在实验室里可由铯“原子钟”来确定出历表秒。每年误差为 2×10^{-9} 或 ~ 0.1 秒 [30]。这样的准确度是适用于宇宙导航的，是在宇宙定位的误差范围之内的。这表明宇宙航行中，可以采用一座钟可靠地保持历表时的准确度在 ± 1 秒之内。依照航程

时间的长短（由几个月到几年）相应的相对误差为 10^{-7} 到 10^{-8} 秒。采用晶体振荡器很容易得到这样的准确度，因此在经过标准原子钟校正后，可以用它来给出历表时。也可以采用 WWV 标准频率发射来校正振荡器。从 ET 发射频率到大约 UT 频率时，需要有一个小的允许偏移[31]。

太阳系中的基本长度单位是天文单位，它等于地球轨道的长轴半径。已公布的以太阳为中心的直角坐标系，采用了天文单位。太阳系中各种天体的矢量半径值都是用这种单位量度的。

天文单位和标准公尺的精确比值，虽然还是最近才确定，但在很早以前，人们对星体之间的距离已能测到多于 6 位有效数。对星体之间距离的直接测量，例如 1961 年对金星的雷达试验，都可以用来确定天文单位的长度。利用 Jodrell Bank、喷气推进试验室、林肯试验室、美国无线电公司和苏联所公布的材料[32]，采用同一光速（299,792.8 公里/秒）以及各个试验结果的平均值，我们可以得到天文单位的平均值为：

$$\text{天文单位 } a.u. = 149,598,650 \pm 450 \text{ 公里。}$$

在本文中对这个值我们也采用了其他的量。Levy 曾对行星位置表的准确度作过讨论[18]。通常使用的最准确位置表有下面几种：由 Newcomb 提出的[33]和进行过修正的[34]水星、金星和地球——月亮系统位置表；由 Duncombe 和 Clemence 提出的[35]火星位置表。对于外圈的行星来说，它们的可靠位置[36]和修正值[37]也都曾经公布过。

“1960~1980”年行星座标[38]是一个很简便的表。该表具有有限的小数位数，适用于作粗略的水星计算。表中还包括有适用于所有导航用的其他行星，对于已经公布的各种位置表的可能误差的估计值都列于表 3 中。

表 3 行星位置表可能误差的估计值

天 体	公 里	行 星 半 径	1 个天文单位	在平均太阳距离
		的分 数 值	$a.u.$ 的角度	时 的 角 度
水星	100	1/23	0''.14	0''.4
金星	150	1/41	0.2	0.3
地球-月亮系统	100	1/64	0.14	0.1
火星：				
(i) Newcomb 和 Ross 位置表	150	1/22	0.2	0.1
(ii) Duncombe 和 Clemence 位置表	100	1/34	0.14	0.1
某些小行星	150	0.4~6:	0.2	0.1
木星	600	1/120	0.8	0.2
土星	600	1/96	0.8	0.1
天王星	1000	1/25	2.14	0.1
海王星	1500	1/15	2.0	0.1
冥王星	3000	1	4.0	0.1

一个行星的观测位置受到观测者和行星两种运动影响所发生的偏差，第一种叫做正常偏差，第二种叫做行星偏差。如果行星和背景星体，差不多都在同一方向上，则正常偏差可以自动消除。行星偏差可以用提前观测时间来消除，也即如果在 T 瞬间观测行星，则由表上查行星位置时可采用提早的时间 ($T - t$)。其中 t 为“光方程”或延迟时间。

光速

$$c = 299792.8 \pm 0.3 \text{ 公里/秒}$$

以及天文单位相适应的光方程式值为：

$$\theta = 499 \text{秒}.0068 \pm 0 \text{秒}.0015 (a.u.)^{-1}.$$

因此光经历时间为

$$t = \theta \Delta,$$

Δ 为以天文单位表示的与被观测行星间的距离。

对于进动的修正，可以参阅球面天文学或天体力学中的通用修正公式，也可以用查表的方法来得到。

B. 行星直径

各行星（除了水星及可能还有火星以外）都是迴轉椭圆体，在两极位置扁平。椭圆率为

$$f = \frac{r_e - r_p}{r_e} = 1 - \frac{r_p}{r_e},$$

表 4 行星的光学直径①

	角 直 径②	綫 直 径	椭圆率倒数 f^{-1}	备 考
水星	6''.46 ± 0.''02	4685公里 ± 15		
金星③	16''.86 ± 0.''03	12230 ± 20		
地球④				
紅外(晴天)				
赤道的	17''.598 ± 0.''001	12763 ± 1	298	
极的	17''.538 ± 0.''001	12720 ± 1		
紅外(云遮)				摘自 de Vaucouleurs
赤道的	17''.610 ± 0.''002	12772 ± 2	284	[39]
极的	17''.548 ± 0.''002	12727 ± 2		
目視				
赤道的	17''.635 ± 0.''003	12791 ± 2	217	
极的	17''.554 ± 0.''003	12732 ± 2		
火星				
赤道的	9''.415 ± 0''.015	6828 ± 10	100 ± 10	
极的	9.32 ± 0''.01	6760 ± 7		
木星				
赤道的	3'16''.94 ± [1.''4]	142840 ± [1000]	15.0	摘自 Sampson[40]
极的	3'03''.82 ± [1.''4]	133320 ± [1000]		
土星				
赤道的	2'44''.55 ± 1''.14	119300 ± 800	9.3 ± 0.1	
极的	2'26''.90 ± 1''.72	106500 ± 1250		采用一般方法；更侧重于 Lowell[41]。包括有历表各值[17]的早先测量，看起来受幅照的影响很大
环系统(指土星环——译者)				
外直徑	6'18''.88 ± 0''.67	274800 ± 500		
卡西尼(Cassini)区中点	5'28''.61 ± 0''.19	238330 ± 140		
卡西尼区宽度	6''.68 ± 0''.48	4840 ± 350		

① 除非特别指明，各直径都是指可见光($\lambda \approx 0.55 \mu$)而言。

② 距离为一个天文单位。

③ 云层外部。

④ 已做折射修正。